

## บทที่ 5

### ผลการวิเคราะห์ไฟไนอิลิเมนต์ข้อต่อชนิดก่อสร้างในประเทศไทย (ExTSh1C)

#### 5.1 บทนำ

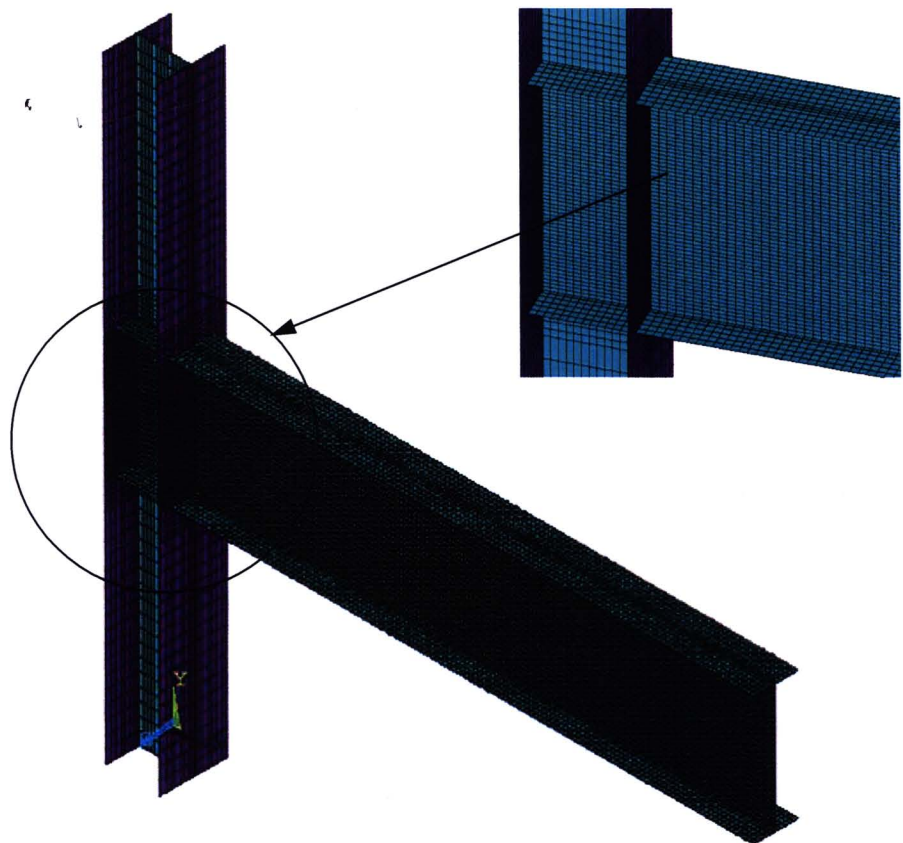
จากบทที่ 4 สามารถสรุปได้ว่า แบบจำลองไฟไนอิลิเมนต์ (ExBsh1C) ที่พัฒนาขึ้นนี้ มีความถูกต้อง สามารถทำนายได้ ความสามารถในการรับแรงวัյจักร ได้ดี และสามารถทำนายพฤติกรรมของข้อต่อคาน-เสาชนิด Welded Unreinforced Flanges-Bolted Web ได้ดี เมื่อเปรียบเทียบจากผลการทดสอบชิ้นงานจริงในห้องปฏิบัติการ ดังนั้น เมื่อนำแบบจำลองไฟไนอิลิเมนต์ในบทที่ 4 มาทำการปรับรายละเอียดต่างๆ ให้มีลักษณะคล้ายกับข้อต่อคาน-เสาเหล็กที่ก่อสร้างในประเทศไทย และทำการวิเคราะห์แบบจำลองนี้ ผลที่ได้จากการวิเคราะห์น่าจะให้ผลที่ใกล้เคียงกับผลที่คาดว่าจะได้จากการทดสอบชิ้นงานทดสอบที่มีรายละเอียดการก่อสร้างในประเทศไทย

#### 5.2 แบบจำลองไฟไนอิลิเมนต์ข้อต่อคาน-เสา ชนิดที่มีรายละเอียดตามการก่อสร้างในประเทศไทย (ExTSh1C)

จากการรวบรวมข้อมูลเบื้องต้นทำให้ทราบว่า การก่อสร้างข้อต่อคาน-เสานี้ จะไม่ใช้แผ่น Shear Tab โดยจะทำการเชื่อมแผ่นเอวakanและปีกคานบนล่าง ติดกับหน้าเสา เป็นลักษณะการเชื่อมรอบเส้นรอบรูปของคาน W-Flange ดังนั้นจึงทำให้ไม่มีการตัดแผ่นเอวakanทำเป็น Access Hole ด้วย แสดงไว้ในรูปที่ 2.3 กล่าวโดยสรุป ข้อต่อคาน-เสาเหล็กในประเทศไทย จะเป็นลักษณะเชื่อมเต็มเส้นรอบรูปหน้าตัดคาน โดยไม่มีแผ่น Shear Tab และ Access Hole

รูปที่ 5.1 แสดงแบบจำลองไฟไนอิลิเมนต์ข้อต่อคาน-เสาชนิดก่อสร้างในประเทศไทย (ExTSh1C) โดยยังคงเป็นข้อต่อของเสาตันริม (Exterior Connection) ขนาดหน้าตัดคานและเสาที่ใช้สำหรับแบบจำลองนี้ มีขนาดเท่ากับแบบจำลอง ExBsh1C ทุกประการคือ คานมีหน้าเท่ากับ W30x99 และเสา มีขนาดหน้าตัดเท่ากับ W14x145 โดยคานมี ความยาวจากปลายคานตรงบริเวณไส้แรงวัյจักร (ระยะการเคลื่อนที่ซ้าย-ขวา) ถึงตำแหน่งกึ่งกลางเสา เท่ากับ 136 นิ้ว และมีความสูงของเสาจากกึ่งกลางของตำแหน่งยึดรั้งบนถังล่างเท่ากับ 144 นิ้ว การไส้แรงวัյจักรก็จะเป็นไปตามมาตรฐานการทดสอบกำหนดโดย SAC 1997 ซึ่งก็จะเหมือนกับการให้แรงผลักในบทที่ 4 ค่าที่ได้จากการวิเคราะห์แบบจำลองจะถูกนำไปใช้ในการคำนวณในลักษณะเดียวกับการนำเสนอผลในบทที่ 4 คือ ค่าที่ได้จากการทดสอบ จะถูกนำมา

สร้างกราฟความสัมพันธ์ระหว่าง แรงตอบสนองของข้อต่อ กับค่าการเคลื่อนที่ของปลายคาน โดยสรุป การสร้างแบบจำลองไฟไนอิลิเมนต์ ExTSh1C จะเหมือนกับ ExBsh1C ทุกประการ ยกเว้น ExTSh1C จะไม่มีแผ่น Shear Tab และไม่มีช่อง Access Hole ส่วนอื่นๆ เช่น คุณสมบัติของเหล็ก คุณสมบัติที่ตำแหน่งยึดรัง ตำแหน่งการให้แรงวัสดุจักร รูปแบบแรงวัสดุจักร จะเหมือนกับแบบจำลองในบทที่ 4 ทุกประการ



รูปที่ 5.1 แบบจำลองไฟไนอิลิเมนต์ ExTSh1C

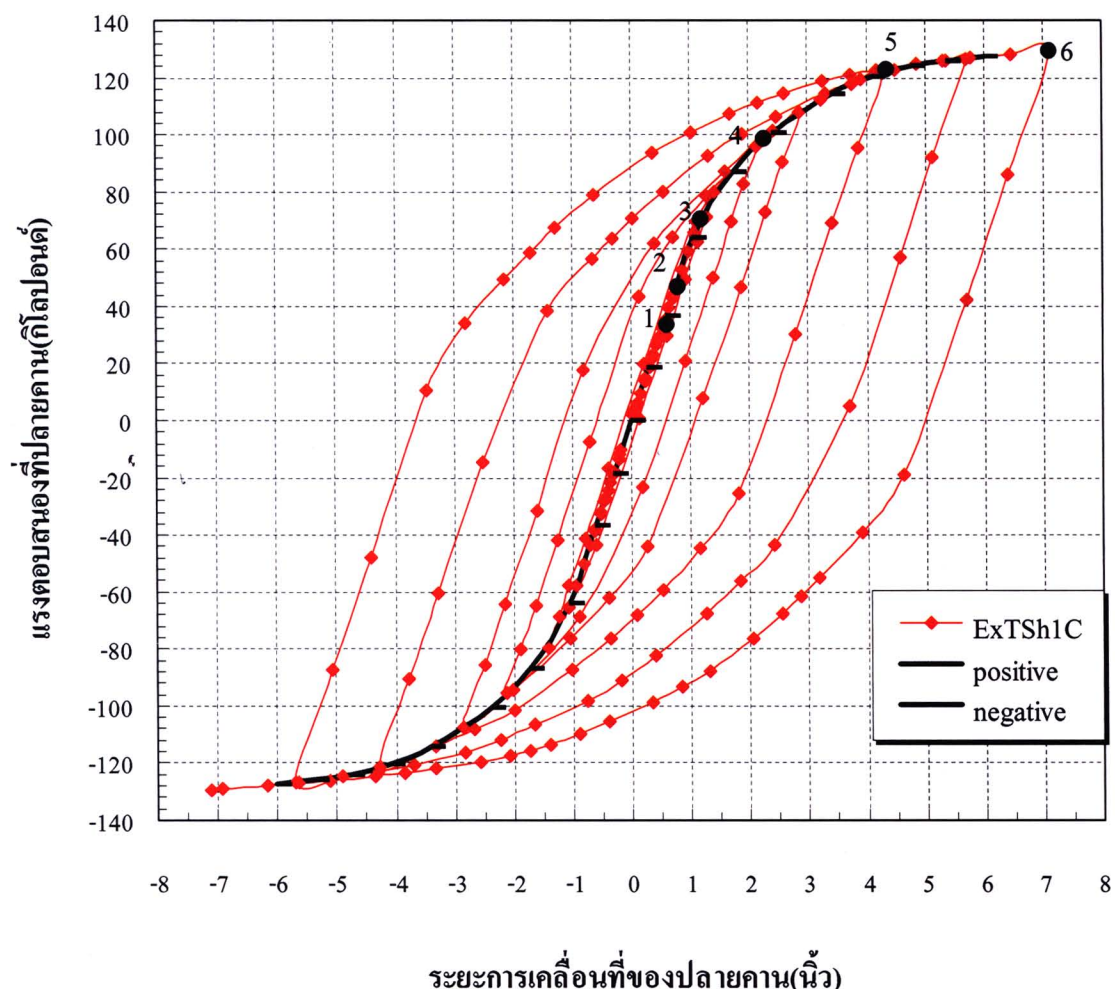
### 5.3 การวิเคราะห์พฤติกรรมของค่ารวมของแบบจำลอง ExTSh1C

รูปที่ 5.2 แสดงความสัมพันธ์ระหว่างแรงตอบสนองที่ปลายคาน กับระยะเคลื่อนที่ของปลายคาน จากรูปพบว่า Hysteresis loop ของแบบจำลอง ExTSh1C มีขนาดใหญ่กว่าแบบจำลอง ExBSh1C เล็กน้อยคือ มีค่าแรงตอบสนองของข้อมูลสูงสุดประมาณ 130 กิโลปอนด์ อย่างไรก็ตาม รูปลักษณะของวงรอบมีลักษณะใกล้เคียงกัน คือมีขนาดใหญ่และกว้าง แสดงว่าข้อต่อที่สามารถรับแรงวัดจักรได้ดี นอก จากนี้ เมื่อพิจารณาแผ่น Panel Zone ที่สภาวะที่ 6 จะพบว่า แผ่น Panel Zone เกิดการครากทึบแผ่น และมีค่าความเดิน Von-Mises ในส่วนเท่ากับ 62 กิโลปอนด์ต่อตารางนิวตัน ซึ่งมีลักษณะคล้ายกับแบบจำลอง ExBSh1C

พฤติกรรมของข้อต่อที่สภาวะต่างๆ จาก 1 ถึง 6 นั้น แสดงในรูปที่ 5.3 การนำเสนอจะถูกย่อลง การนำเสนอผลการวิเคราะห์ของแบบจำลอง ExTSh1C โดยสภาวะที่ 1 ถึง 3 จะเป็นช่วงที่ข้อต่ออยู่ในช่วงพิกัดยืดหยุ่น(Elastic) และสภาวะ 4 ถึง 6 จะเป็นช่วงที่ข้อต่อมีพฤติกรรมอยู่ในช่วงเกินพิกัดยืดหยุ่น (Inelastic) จากการอ่านค่าความเดิน Von-Mises ในส่วนบริเวณข้อต่อระหว่างปีกคานเข้าสู่หน้าเสา และแผ่น Panel Zone จะพบว่า ค่าความเดินจะมีค่าสูงมากกว่าบริเวณอื่นๆ และมีค่าเพิ่มขึ้นเรื่อยๆ เมื่อระยะการเคลื่อนที่ปลายคานเพิ่มขึ้น ค่าความเดินสูงสุดในบริเวณเหล่านี้จะมีค่าเท่ากับ 62 กิโลปอนด์ ต่อตารางนิวตัน เหมือนกับแบบจำลอง ExBSh1C ตารางที่ 5.1 แสดงค่าความเดิน Von-Mises สูงสุด และตำแหน่งที่เกิดค่าตามสภาวะจาก 1 ถึง 6

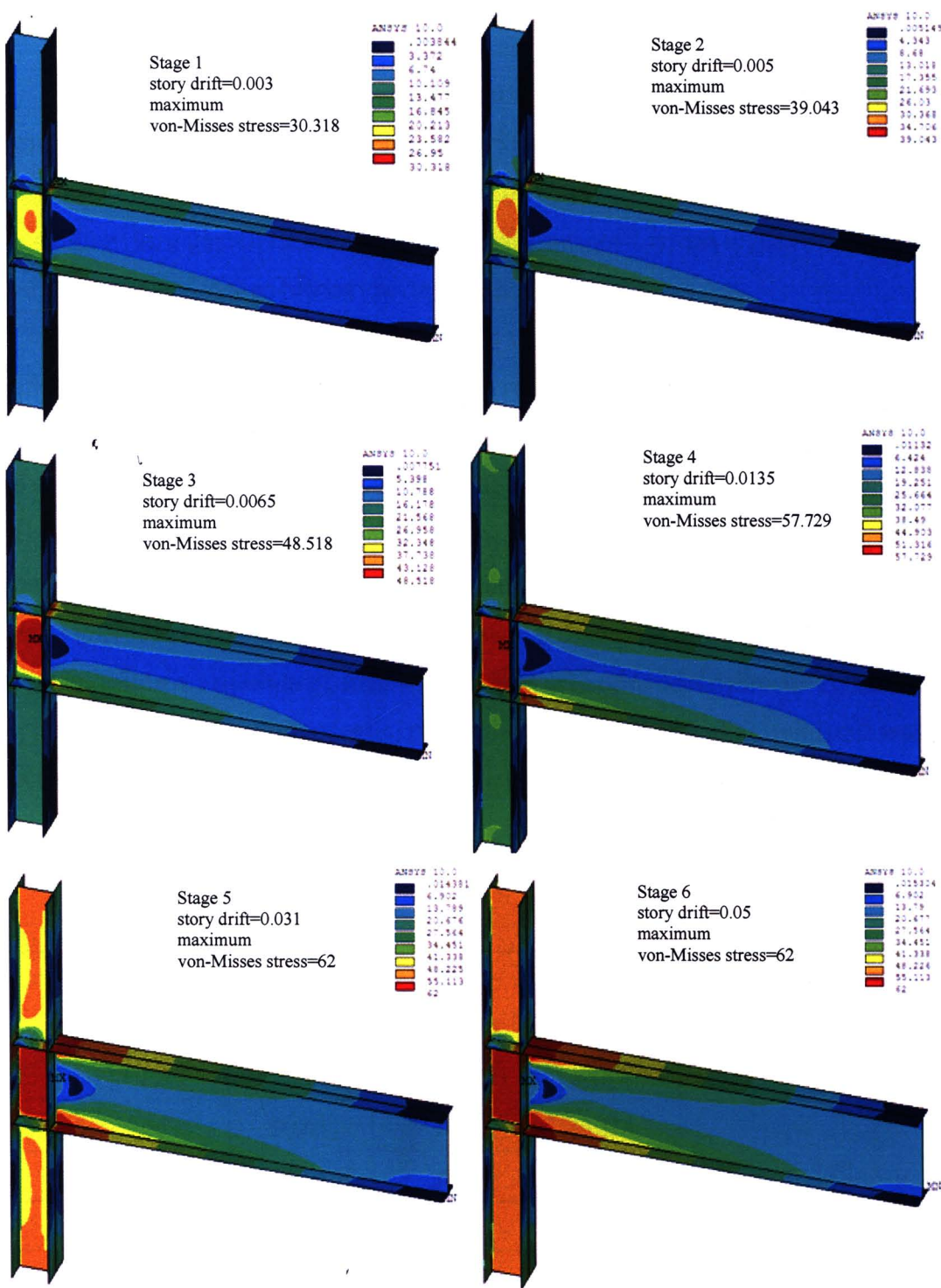
ตาราง 5.1 สรุปค่าความเดิน von-Mises และตำแหน่งที่เกิดตามสภาวะ 1-6 ของแบบจำลอง ExTSh1C

สภาวะ	ระยะเคลื่อนที่ ปลายคาน (นิวตัน)	การหมุน ของข้อต่อ (เรเดียน)	แรง ตอบสนอง (กิโลปอนด์)	ค่าความเดิน von-Mises สูงสุด	ตำแหน่งการเกิด ค่า ความเดิน von-Mises สูงสุด
1	0.53	0.003	20	30.318	ปีกคานติดกับหน้าเสา
2	0.71	0.005	60	39.043	Panel Zone และ ปีกคานติดกับหน้าเสา
3	1.08	0.0065	95	48.518	
4	2.146	0.0135	118	57.729	
5	4.3	0.031	120	62	
6	7.157	0.05	125	62	



รูปที่ 5.2 แรงตอบสนองที่ปลายคานกับระยะเคลื่อนที่ของปลายคาน ที่สภาวะ 1-6 ของแบบจำลอง ExTSh1C





รูปที่ 5.3 แสดงค่าความเคี้ยว von-Mises ที่ส่วน 1-6 ของแบบจำลอง ExTSh1C

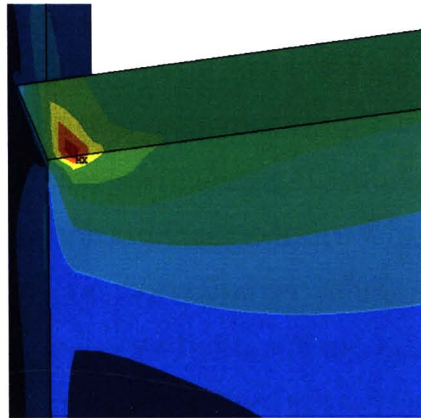
#### 5.4 การวิเคราะห์พฤติกรรมของปะกอบย้อยของแบบจำลอง ExTSh1C

เนื่องจากแบบจำลองนี้ไม่มี Access Hole และแผ่น Shear Tab ดังนั้นองค์ประกอบบอยที่จะนำเสนอคือ บริเวณจุดต่อระหว่างปีกคานและหน้าเสา ซึ่งจะคือบริเวณเดียวกับ Access Hole ซึ่งบริเวณนี้จะยังคงมีเนื้อเหล็กของแผ่น欧元อยู่ ซึ่งเป็นตำแหน่งที่เชื่อมติดกับหน้าเสา บริเวณแผ่น Continuity Plate และปีกคานบน และบริเวณแผ่น Panel Zone โดยจะนำเสนอค่าการกระจายของค่าความเค้น Von-Mises ที่สภาวะการเคลื่อนที่ของปลายคานต่างๆ จากสภาวะ 1-6

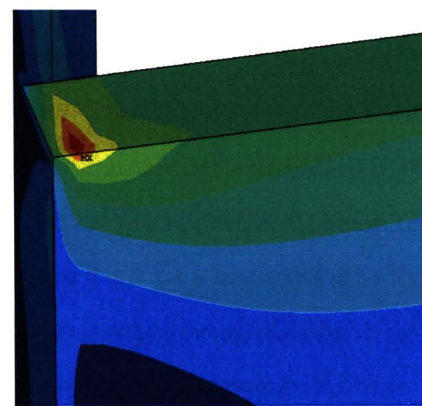
รูปที่ 5.4 แสดงการกระจายตัวของค่าความเค้น Von-Mises ที่บริเวณใต้ปีกคานบน ตำแหน่งเดียวกับ Access Hole จากรูปพบว่า การกระจายตัว มีความแตกต่างกันคือ ค่าความเค้นสูงสุด จะเกิดขึ้นตรงบริเวณแผ่น欧元ที่ติดกับใต้ปีกคาน นอกจากนี้ จะมีค่ามากขึ้นและกระจายตัวมากขึ้นในบริเวณแผ่น欧元ด้านบนที่ติดกับใต้ปีกคาน เมื่อระเบียบการเคลื่อนที่ของคานเพิ่มขึ้น เนื่องจากในแบบจำลอง ExBSh1C เนื้อเหล็กบริเวณแผ่น欧元จะถูกตัดออก เพื่อทำเป็น Access Hole ดังนั้นทำให้ค่าความเค้นสูงสุดในบริเวณนี้ไม่มากนัก สำหรับแบบจำลอง ExBSh1C เมื่อเทียบกับแบบจำลอง ExTSh1C จากลักษณะการกระจายตัวของค่าความเค้นของแบบจำลอง ExTSh1C นี้ อาจสรุปได้ว่า การครากอาจสามารถกระจายตัวจากปีกคานลงสู่แผ่น欧元 ในบริเวณที่ติดกับปีกคาน ได้ แต่ทั้งนี้ยังต้องศึกษาถึงรายละเอียดอื่นๆ เพิ่มเติมด้วย เพื่อยืนยันว่าการกระจายตัวของการครากสู่แผ่น欧元จะส่งผลดีต่อพฤติกรรมการครากของข้อต่อ ค่าความเค้น Von-Mises สูงสุดและตำแหน่งที่เกิด ซึ่งอ่านได้จากรูปที่ 5 แสดงไว้ในตารางที่ 5.2

ตารางที่ 5.2 ค่าความเค้น von-Mises สูงสุด ใต้ปีกคานบน ของแบบจำลอง ExTSh1C

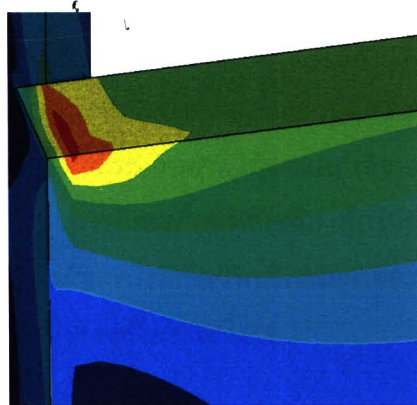
สภาวะ	ระยะเคลื่อนที่ปลายคาน (นิว)	การหมุนของข้อต่อ (เรเดียน)	แรงตอบสนอง (กิโลปอนด์)	ค่าความเค้น von-Mises สูงสุด	ตำแหน่งการเกิด ค่าความเค้น von-Mises สูงสุด
1	0.53	0.003	20	30.318	แผ่น欧元ใต้ปีกคาน ติดกับหน้าเสา
2	0.71	0.005	60	39.043	
3	1.08	0.0065	95	48.518	
4	2.146	0.0135	118	57.729	
5	4.3	0.031	120	62	
6	7.157	0.05	125	62	



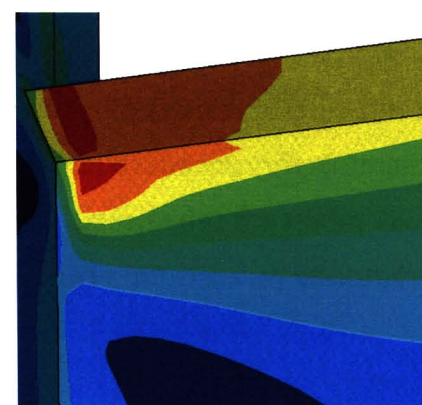
Stage 1  
story drift=0.003  
maximum von-Misses stress=30.318



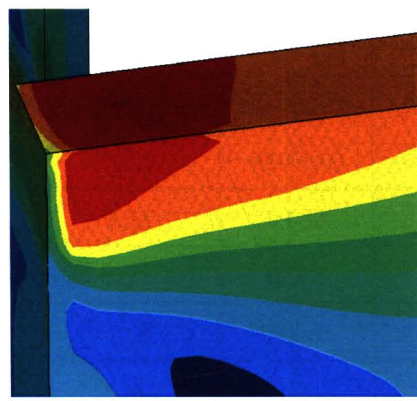
Stage 2  
story drift=0.005  
maximum von-Misses stress=39.043



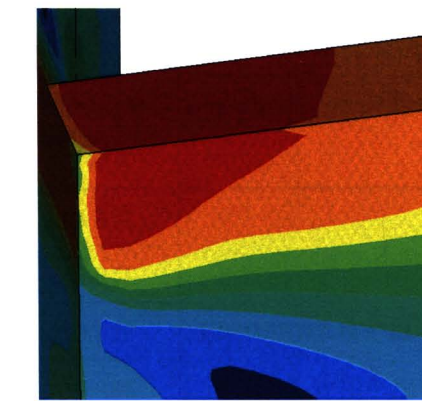
Stage 3  
story drift=0.0065  
maximum von-Misses stress=48.518



Stage 4  
story drift=0.0135%  
maximum von-Misses stress=57.729



Stage 5  
story drift=0.031  
maximum von-Misses stress=62



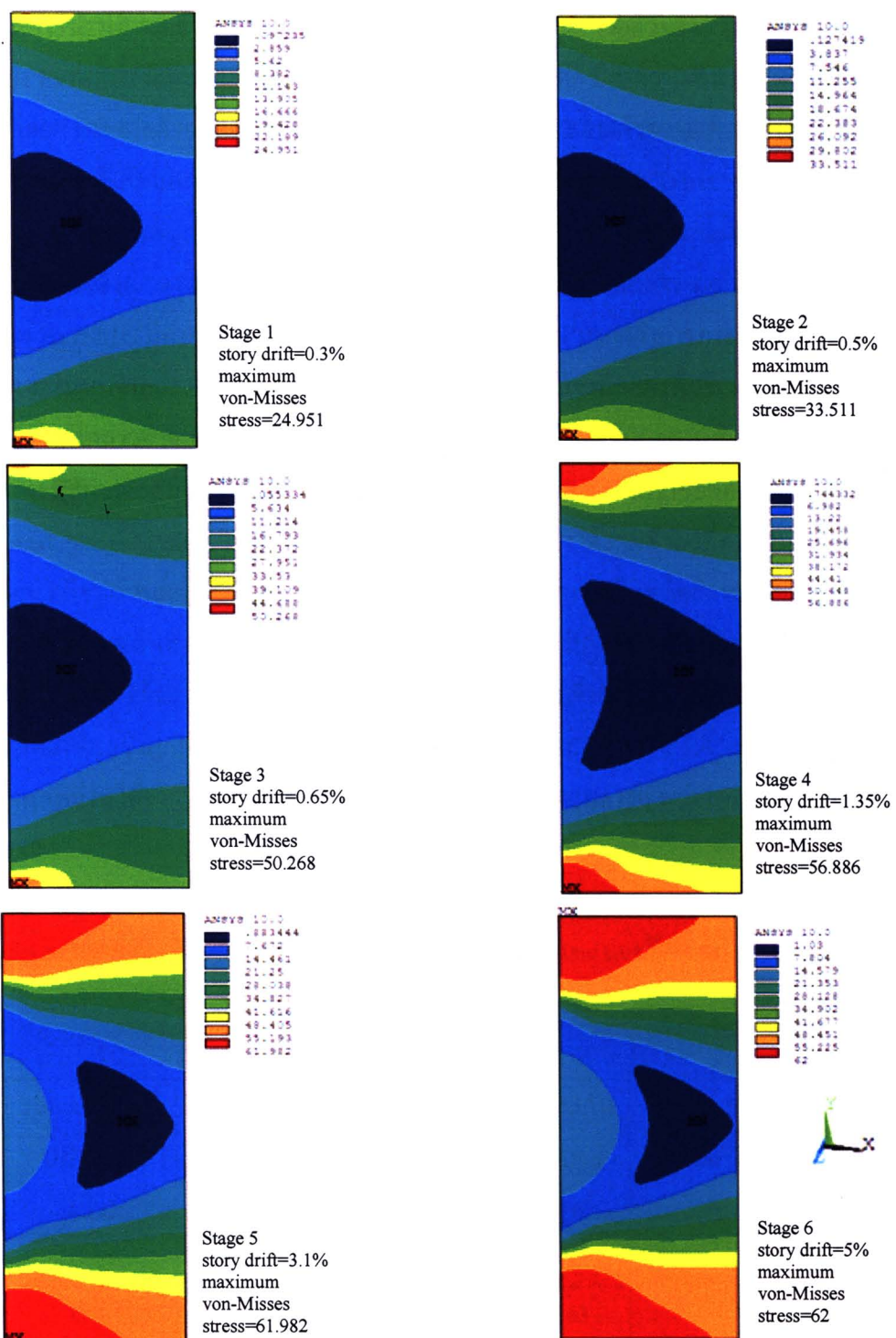
Stage 6  
story drift=0.05  
maximum von-Misses stress=62

รูปที่ 5.4 แสดงค่าความเกิน von-Mises ให้ปีกงานบันทึกภาพที่ส่วนที่ 1-6 ของแบบจำลอง ExTSh1C

รูปที่ 5.5 แสดงการกระจายตัวของค่าความเกิน Von-Mises ในแผ่นอวบนริเวณที่ติดกับหน้าเสา จากรูปจะเห็นว่า ค่าความเกินสูงสุดจะเกิดขึ้นที่มุมบนและล่างด้านซ้ายมือ ซึ่งก็คือมุมที่ติดกับหน้าเสานั้นเอง และค่าความเกินสูงสุดนี้จะเพิ่มขึ้นเมื่อการเคลื่อนที่ของคานเพิ่มขึ้น ลักษณะการกระจายตัวนี้ มีความต่างจาก แบบจำลอง ExBSh1C ที่เกิดขึ้นที่มุมบนและล่างด้านขวาเมื่อของแผ่น Shear Tab นอกจากนี้ จากการประเมินค่าความเกินที่สภาวะการผลักต่างๆ จาก 1 ถึง 6 ของแบบจำลอง ExTSh1C พบว่ามีค่าเฉลี่ยมากกว่าของแบบจำลอง ExBSh1C และมีลักษณะการกระจายตัวที่แตกต่างกันคือ ที่บริเวณแผ่นอวบนริเวณที่ติดกับหน้าเสา จะมีค่าความเกินในระดับที่มากกว่าค่าความเกินที่เกิดกับแบบจำลอง ExBSh1C ที่ตำแหน่งและสภาวะการหมุนของข้อต่อเดียวกัน ประเมินได้จากแบบจำลอง ค่าความเกินอุจารุปได้ว่า แผ่นอวบนมีประสิทธิภาพในการรับแรงเนื้อน และส่งถ่ายแรงเนื้อนเข้าสู่เสาได้ดีกว่า แผ่น Shear Tab อี่างไรก็ตาม ค่าแรงเนื้อนสูงสุดก็ไม่ได้เกิดที่บริเวณกึ่งกลางแผ่นอวบน แต่เกิดที่มุมบนและล่างของแผ่นอวบ ที่ติดกับปีกคานบนและล่าง แสดงว่าค่าที่ได้รับไม่เป็นไปตามทฤษฎี ของคาน ซึ่งเหมือนกับค่าที่ได้จากแบบจำลอง ExBSh1C ดังนั้นการจะออกแบบบริเวณปลายคานที่ติดกับหน้าเสา ควรมีการศึกษาเพิ่มเติม เพื่อให้การออกแบบเป็นไปอย่างถูกต้อง ค่าความเกิน Von-Mises สูงสุด และตำแหน่งที่เกิดขึ้นบริเวณแผ่นอวบน ใกล้กับหน้าเสา ตามสภาวะต่างๆ ของแบบจำลอง ExTSh1C แสดงดังตารางที่ 5.3

ตารางที่ 5.3 ค่าความเกิน von-Mises สูงสุด บนแผ่นอวบนติดกับหน้าเสาของแบบจำลอง ExTSh1C

สภาวะ	ระยะเคลื่อนที่ปลายคาน (นิว)	การหมุนของข้อต่อ (เรเดียน)	แรงตอบสนอง (กิโลปอนต์)	ค่าความเกิน von-Mises สูงสุด	ตำแหน่งการเกิด ค่าความเกิน von-Mises สูงสุด
1	0.53	0.003	20	24.951	มุมบนและล่างซ้ายมือของแผ่นอวบนติดกับหน้าเสา
2	0.71	0.005	60	33.511	
3	1.08	0.0065	95	50.268	
4	2.146	0.0135	118	56.886	
5	4.3	0.031	120	61.982	
6	7.157	0.05	125	62	

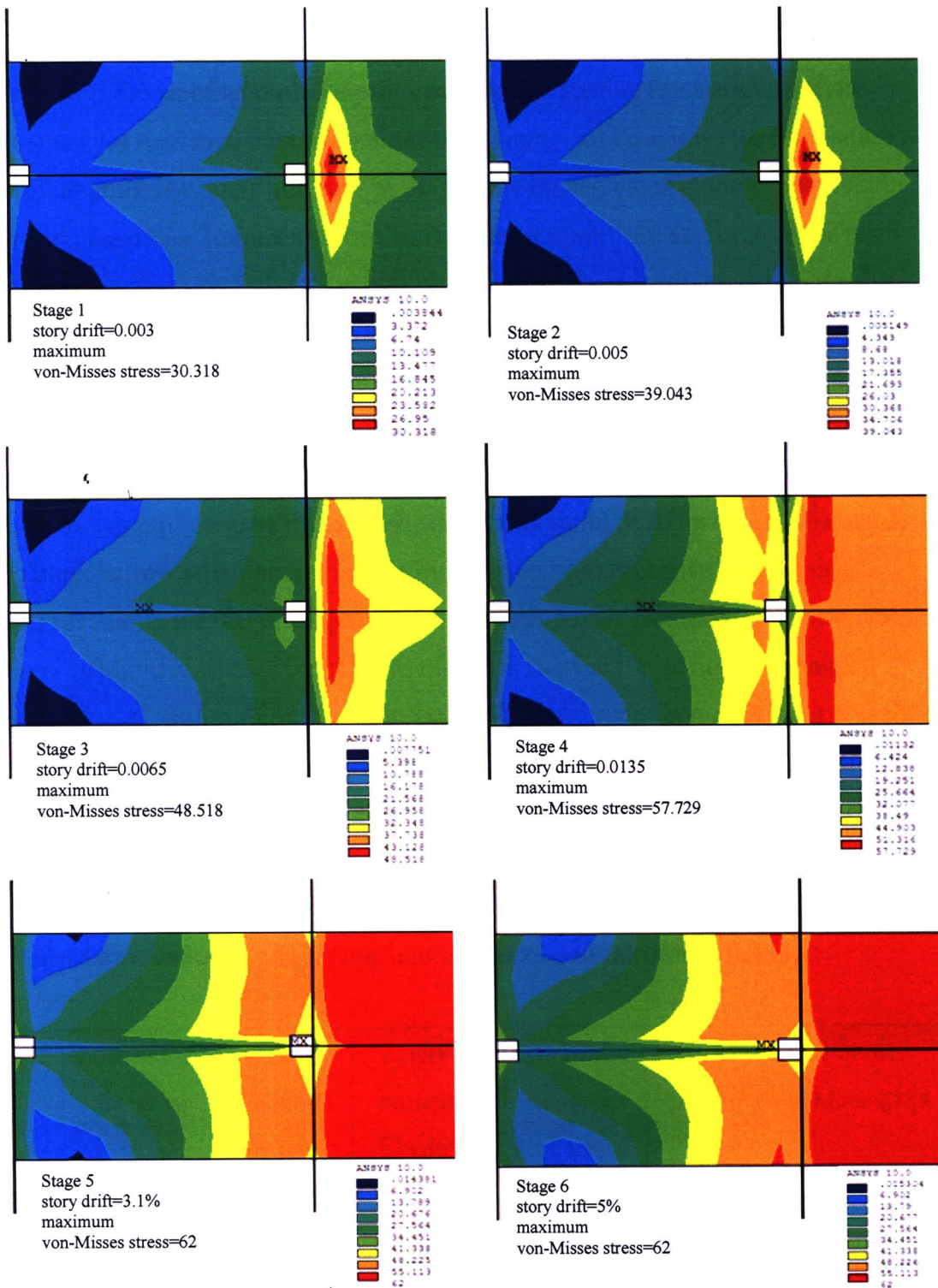


รูปที่ 5.5 แสดงค่าความเก็บ von-Mises บนแผ่นเอวakanติดกับหน้าเสา ที่ส่วนที่ 1-6ของแบบจำลอง ExTSh1C

การกระจายตัวของความเกิน Von-Mises ในแผ่น Continuity Plate และในปีกคานบนติดกับหน้าเสาแสดงในรูปที่ 5.6 จากรูปพบว่า ในช่วงพิกัดยึดหยุ่น การกระจายตัวของความเกินของแบบจำลอง ExTSh1C มีลักษณะคล้ายกับแบบจำลอง ExBSh1C คือ มีค่าความเกินสูงสุดที่กึ่งกลางปีกคาน และค่อนข้างต่ำของการอักเสบด้านข้างของปีกคาน ส่วนการกระจายตัวความเกินในแผ่น Continuity Plate มีลักษณะใกล้เคียงกัน โดยแผ่น Continuity Plate ของแบบจำลอง ExTSh1C จะมีค่าความเกินสูงสุดมากกว่าค่าความเกินสูงสุดของแบบจำลอง ExBSh1C เมื่อเทียบที่สภาวะการหมุนของข้อต่อที่เท่ากัน เมื่อข้อต่อเข้าสู่สภาวะเกินพิกัดยึดหยุ่นจะพบว่า การกระจายตัวของความเกินในปีกคานของแบบจำลอง ExTSh1C มีค่าสมำเสมอตลอดความกว้างของปีกคาน มากกว่าการกระจายตัวของความเกินในปีกคานของแบบจำลอง ExBSh1C ที่จะมีค่าสูงที่กึ่งกลาง และมีค่าน้อยลงที่บริเวณขอบของปีกคาน จากผลข้างต้นดังกล่าวอาจสรุปได้ว่า การครากของปีกคานตรงบริเวณข้อต่อคานสู่เสาของแบบจำลอง ExTSh1C จะมีลักษณะสมำเสมอ และน่าจะทำให้ปีกคานมีพฤติกรรมที่ดีกว่าข้อต่อชนิด Welded Unreinforced Flanges-Bolted Web เนื่องจากค่าความเกินสูงสุดไม่ได้รวมตัวอยู่ที่ตำแหน่งกึ่งกลางคานเพียงตำแหน่งเดียว ส่วนแผ่น Continuity Plate พบร่วมกับเข้าสู่สภาวะเกินพิกัดยึดหยุ่น ความเกินจะกระจายตัวค่อนข้างสมำเสมอมากกว่าแบบจำลอง ExBSh1C และมีค่าความเกินสูงสุดมากกว่าเมื่อเทียบที่สภาวะเดียวกัน ทำให้สรุปได้ว่า แผ่น Continuity Plate ของแบบจำลองนี้ น่าจะมีประสิทธิภาพในการถ่ายแรงจากปีกคานเข้าสู่แผ่นเอวเสาได้ดีกว่าแบบจำลอง ExBSh1C ตารางที่ 5.4 แสดงความเกิน Von-Mises สูงสุดที่อ่านได้จากรูป ตามสภาวะการเคลื่อนที่ของปลายคานต่างๆ จาก 1-6 และแสดงตำแหน่งที่เกิดค่าสูงสุด

ตารางที่ 5.4 ค่าความเกิน von-Mises สูงสุด ในแผ่น Continuity Plate และปีกคานบนของแบบจำลอง ExTSh1C

สภาวะ	ระยะเคลื่อนที่ปลายคาน (นิว)	การหมุนของข้อต่อ (เรเดียน)	แรงตอบสนอง (กิโลปอนด์)	ค่าความเกิน von-Mises สูงสุด	ตำแหน่งการเกิด ค่าความเกิน von-Mises สูงสุด
1	0.53	0.003	20	30.318	ปีกคานบนติดกับหน้าเสา
2	0.71	0.005	60	39.043	
3	1.08	0.065	95	48.518	
4	2.146	0.035	118	57.729	
5	4.3	0.031	120	62	
6	7.157	0.05	125	62	

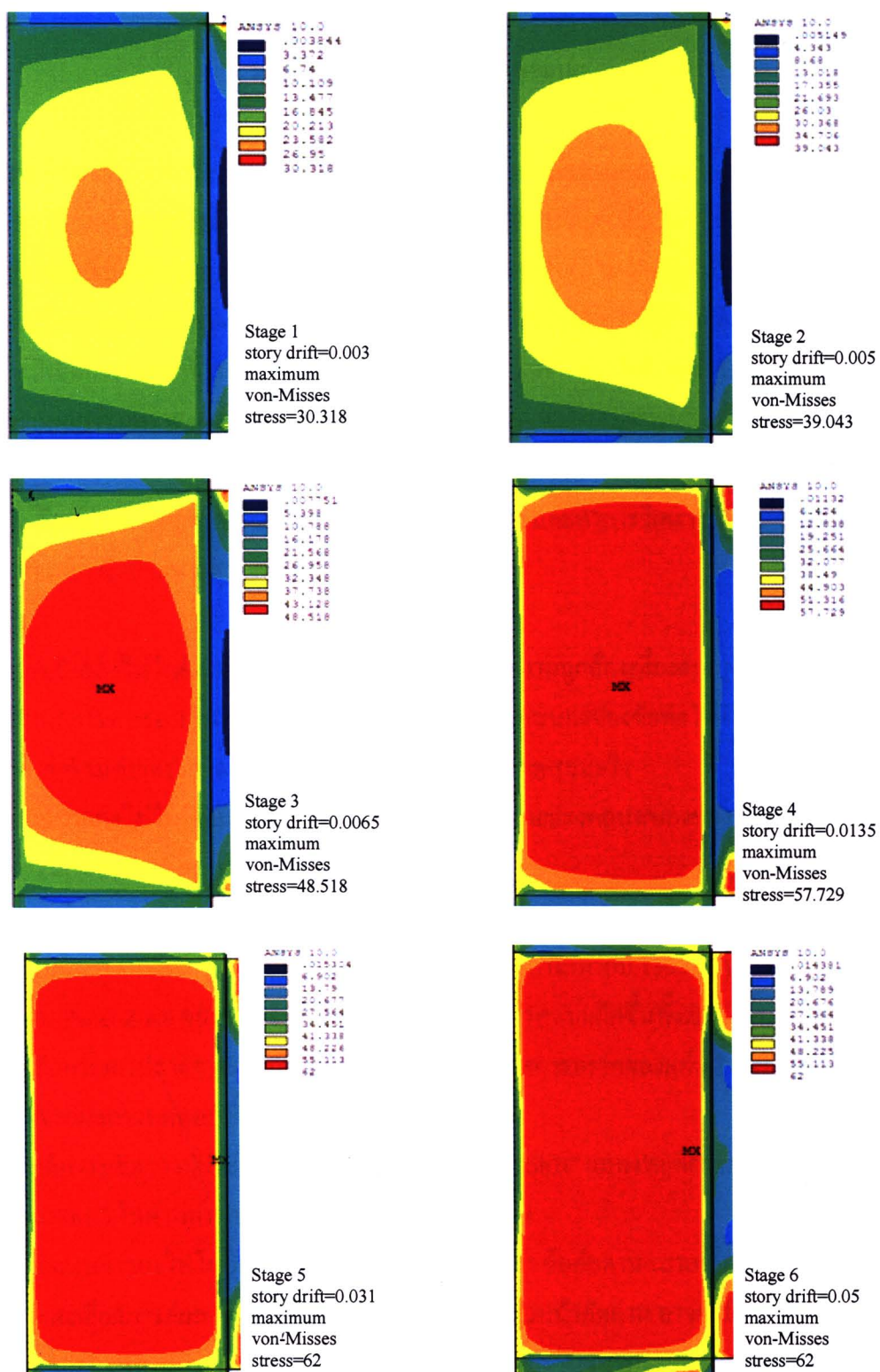


รูปที่ 5.6 แสดงค่าความเก็บ von-Mises ในแผ่น Continuity Plate และปีกคานบนของแบบจำลอง ExTSh1C ติดกับหน้าเสาที่ส่วน 1-6

องค์ประกอบที่สำคัญอีกสิ่งหนึ่งคือ แผ่นเอวเสาหรือแผ่น Panel Zone ค่าการกระจายตัวของความเค้น Von-Mises ในแผ่น Panel Zone แสดงได้ดังรูปที่ 5.7 จากรูปพบว่า ลักษณะการกระจายตัวของความเค้นมีลักษณะคล้ายกับแบบจำลองก่อนหน้านี้คือ ค่าความเค้นสูงสุด จะเกิดขึ้นที่บริเวณกึ่งกลางของแผ่น Panel Zone และมีค่าน้อยที่สุดที่บริเวณติดกับ แผ่น Continuity Plate ด้านบนและล่าง เมื่อค่าการเคลื่อนที่ของปลายคานเพิ่มขึ้น ค่าความเค้นสูงสุดจะค่อยๆ ขยายตัวออกจากกึ่งกลางจนเต็มบริเวณแผ่น Panel Zone ในลักษณะสมมาตร ค่าความเค้นสูงสุดมีค่าเท่ากับ 62 กิโลปอนด์ต่อตารางนิ้ว ที่สภาวะที่ 6 และเกิดขึ้นกับพื้นที่ส่วนใหญ่ของแผ่น Panel Zone แสดงว่า แผ่น Panel Zone ส่วนใหญ่ เกิดการคราก เมื่อเปรียบเทียบลักษณะการครากของแผ่น Panel Zone ทั้งสองแบบจำลองพบว่า แผ่น Panel Zone ของแบบจำลอง ExTSh1C มีค่าความเค้นสูงสุดมากกว่า และมีพื้นที่ในการเกิดค่าความเค้นสูงสุดมากกว่าแบบจำลอง ExBSh1C เมื่อเปรียบเทียบที่สภาวะการหมุนของข้อต่อขนาดเท่ากัน ทำให้อาจสรุปได้ว่า แผ่น Panel Zone ของแบบจำลอง ExTSh1C มีประสิทธิภาพในการรับแรงเฉือนได้ดีกว่า แบบจำลอง ExBSh1C และน่าจะสามารถดูดซับพลังงานจากแผ่นดินไหวได้ดีกว่า อย่างไรก็ตาม ดังที่กล่าวไปแล้วในบทที่ 4 การเกิดการครากที่มากเกินไปในแผ่น Panel Zone อาจส่งผลด้านลบต่อ พฤติกรรมรวมขององค์อาคาร เช่น ปัญหาแรงเยื้องศูนย์ ดังนั้นการทดสอบชิ้นงานทดสอบจริง ที่ถูกออกแบบให้แผ่น Panel Zone มีความแข็งแรงน้อยกว่าความแข็งแรงของคาน และให้ข้อต่อมีรายละเอียดการสร้างเหมือนกับแบบจำลอง ExTSh1C เพื่อศึกษาว่าการครากของแผ่น Panel Zone นั้น ส่งผลกระทบอะไรบ้างกับข้อต่อประเภทนี้ เพื่อนำพฤติกรรมของข้อต่อจากการทดสอบชิ้นงานจริง มาเปรียบเทียบกับพฤติกรรมที่ได้จากการวิเคราะห์ด้วยแบบจำลองไฟไนอิเลมท์ ตารางที่ 5.5 แสดงค่าความเค้น Von-Mises สูงสุด ที่เกิดขึ้นในแผ่น Panel Zone และตำแหน่งที่เกิดที่สภาวะ 1-6

ตารางที่ 5.5 ค่าความเค้น von-Mises สูงสุด ในแผ่น Panel Zone ของแบบจำลอง ExTSh1C

สภาวะ	ระยะเคลื่อนที่ปลายคาน (นิ้ว)	การหมุนของข้อต่อ (เรเดียน)	แรงตอบสนอง (กิโลปอนด์)	ค่าความเค้น von-Mises สูงสุด	ตำแหน่งการเกิด ค่าความเค้น von-Mises สูงสุด
1	0.53	0.003	20	30.318	กลาง Panel Zone
2	0.71	0.005	60	39.043	
3	1.08	0.065	95	48.518	
4	2.146	0.035	118	57.729	
5	4.3	0.031	120	62	
6	7.157	0.05	125	62	



รูปที่ 5.7 แสดงค่าความเค้น von-Mises ในแผ่น Panel Zone ที่สภาวะ 1-6 ของแบบจำลอง ExTSh1C